

Р. Т. Лурбашян, О. П. Гучомджян, Р. Н. Таян

НЕКОТОРЫЕ ОСОБЕННОСТИ СТРОЕНИЯ И ФОРМИРОВАНИЯ ТРЕТИЧНЫХ ВУЛКАНОГЕННЫХ КОМПЛЕКСОВ ЗАНГЕЗУРА

Вулканогенно-осадочные толщи третичного возраста пользуются широким развитием на юго-востоке Армянской ССР в пределах южного сегмента Памбак-Зангезурской структурно-металлогенической зоны Малого Кавказа.

Сведения о геологическом строении, возрасте и составе этих толщ имеются во многих работах К. Н. Паффенгольца, В. Каждана, С. С. Мкртчяна, А. Т. Асланяна, Ш. А. Азизбекова, С. А. Мовсесяна, А. Л. Додина, И. Г. Магакьяна, К. А. Карамяна и др. Однако, отмеченные вопросы указанными исследователями рассматривались лишь попутно при изучении, главным образом, интрузивных образований и рудных месторождений района, и часто не находили однозначного решения. Поэтому нами была предпринята попытка специального изучения строения и состава вулканогенных и вулканогенно-осадочных образований, а также их становления.

Разнообразие условий проявления вулканизма и характера формирования толщ определили их сложное строение и пестрый фациальный состав. В то же время, общим для описываемых толщ является скучность фауны, что усложняет стратиграфическое подразделение и выдвигает на первый план петро-геохимические методы их расчленения.

Специфической особенностью третичного вулканизма данной территории является исключительно широкое проявление его экструзивных фаций в виде субвулканических и экструзивных образований, даек и корней изливаний лав, т.е. образований, прорывающихся на различных горизонтах вулканогенно-осадочные образования эоцена. Одновременно, бричированный характер указанных вулканических образований, отчетливо проявленный в породах эфузивной и экструзивной фаций, по-видимому, является особенностью внутренней природы магматических расплавов, возникающих в данный этап тектонической активизации области.

В пределах изученного региона были составлены опорные разрезы, что позволило провести корреляцию этих толщ на большом фактическом материале, и сделать некоторые выводы о характере развития вулкана во времени и в пространстве.

Благодаря работам последних лет (Габриелян, 1963; Белов, 1968, 1969; Кочарян, 1970; Гюмджян, 1963, 1968; Ходжабагян и др., 1974, и др.), удалось выяснить ряд спорных вопросов геологии, стратиграфии и тектоники района, которые во многом помогли нашим исследованиям.

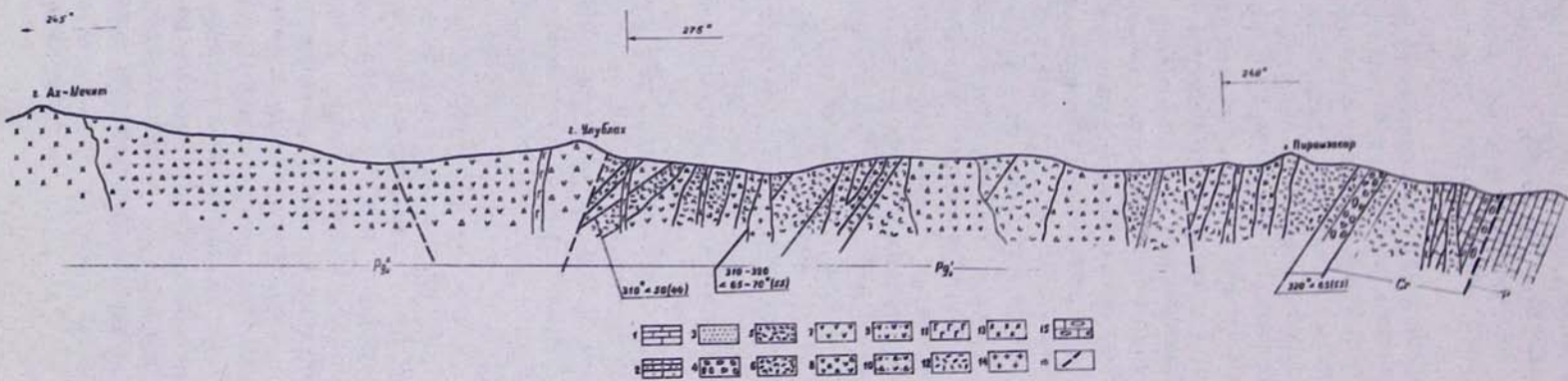
Ниже дается схема расчленения выделенных вулканогенно-осадочных толщ региона и характеристика особенностей строения и состава каждой из них. Приводятся детальные разрезы, описание главнейших разновидностей пород и химизм, слагающих толщи вулканогенных образований. Описание широко распространенных разнообразных по составу и характеру проявления прорывающих вулканических образований, исключенных нами из объема выделенных толщ, приводится отдельно.

1. Пирамсарская свита. В самых низах палеогенового разреза, залегая трансгрессивно на образованиях верхнего мела, обнажается мощная, до 2,5 км толща (терригенно-флишевая формация - Габриелян и др. 1968), отличительной особенностью которой является ее флишидный облик, с ритмичным чередованием слоев, мощности которых колеблются в пределах 1-5 см, реже до 20 см. Повсеместно наблюдаемое интенсивное окремнение пород давало повод отдельным исследованиям выделять ее в зону приконтактовых полосчатых роговиков, в экзоконтакте Мегринского plutона. Характерным является также моноклинальное залегание толщи с выдержаным, в целом структурным планом, обусловленным преимущественно северо-восточным простиранием слоев с падением в северо-западные румбы на 290-320°, под углами 30-80°.

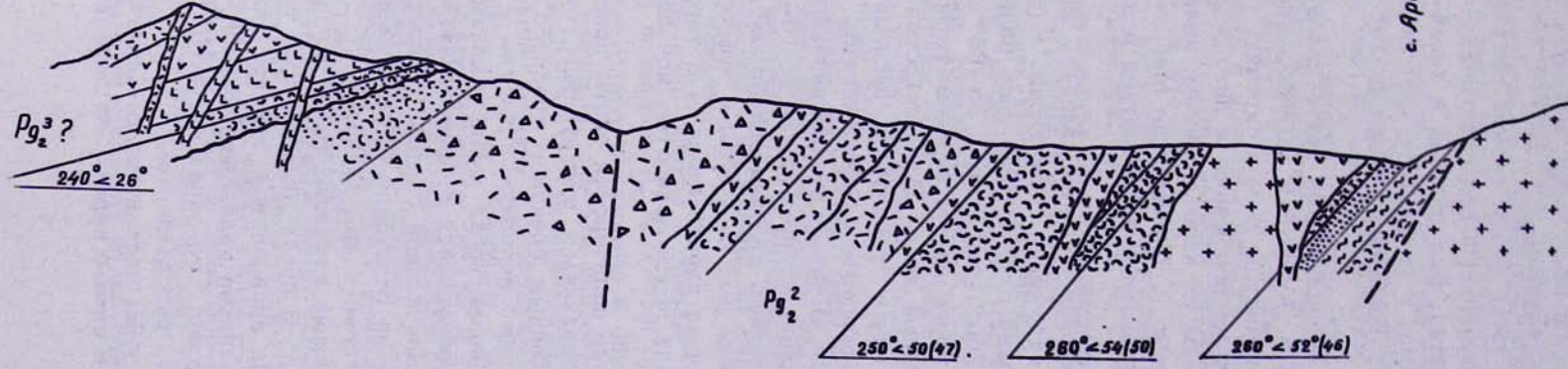
Наибольшим распространением образования пирамсарской свиты пользуются в водораздельной части одноименного хребта на участке между вершинами гг. Пирамсар и Улублах, а также в верховьях р. Гехи, выше с. Аджебадж. Описываемые образования встречены также в водораздельной части Мегри-Гюнейского хребта, восточнее с. Пхрут, в районе г. Чолан.

Ниже приводится разрез, составленный по водоразделу Пирамсарского хребта в широтном направлении на восток от вершины г. Ах-Мечит (фиг. 1). В строении толщи принимают участие тонкослоистые и интенсивно окремнелые породы зеленовато-серого и синевато-серого цвета с характерным раковистым изломом. По составу среди них выделяются: известковистые алевролиты, мергелистые и глинистые песчаники, туфопесчаники, пелитовые и алевритовые туфы базальт-андезит-дацитового составов. Возраст этой толщи по ее стратиграфическому положению и по аналогии с фаунистически охарактеризованными отложениями Нахичеванской АССР соответствует нижнему эоцену (Мкртчян, 1958).

Вся указанная пачка слоистых пород широко и неоднократно прорвана многочисленными вулканическими образованиями и местами оставляет впечатление линз и останцов неправильной формы в полях развития вулканитов. Последние представлены главным образом базальтами, андезито-базальтами, диабазами, долеритами и реже андезитами, дациами и липаритами. Формы проявления их весьма разнообразны - это дайки, экструзии, небольшие штоки, а также своеобразные образования типа автомагматических вулканических брекчий, детальное описание которых будет дано ниже.



Фиг. 1. Разрез по Пирамсарскому хребту. 1. Известняки, 2. известняки обломочные петритовые, 3. песчаники, 4. конглобрекции, 5. туфы андезитов и андезито-базальтов, 6. туфы дацитов, 7. андезито-базальты и базальты, 8. брекции андезито-базальтов и базальтов, 9. андезиты, 10. брекции андезитов, 11. долериты, 12. дациты и липариты, 13. габбро роговообманковое, 14. кварцевые пачты, 15. конгломераты, 16. разрывные нарушения.



1 2 3 4 5 6 7 8 9 10

Фиг. 2. Разрез по р. Сисиан (северный склон Баргушатского хребта). 1. Алевролиты, 2. песчаники, 3. туфопесчаники, 4. туфы андезита, 5. туфы дацита, 6. андезит, 7. дацит, 8. брекчии дацита, 9. базальт, 10. гранодиорит.

II. Стратиграфически выше описанной толщи залегает мощная толща вулканических и вулканогенно-осадочных пород, пользующаяся в районе максимально широким распространением.

Взаимоотношения указанных выше фаций весьма сложны и окончательно не выяснены. Видимо нормальный ход осадконакопления в морском бассейне (даличайская свита), был прерван в какой-то момент интенсивной вспышкой вулканизма, в результате которого формируется сложнофациальный вулканический комплекс, объединяемый в калутдзукскую свиту.

а) Образования, относимые к даличайской свите пользуются широким распространением в районе с. Аревис, в правобережье р. Шенатах по Баргушатскому хребту в Сисианском р-не (Мкртчян, 1958; Карапетян, 1962). По стратиграфическому положению и литологическому составу, аналогом даличайской свиты по нашим данным, является свита, распространенная по правобережью р. Шишкерт по Мегри-Гюнейскому хребту в Кафанском районе и известная в литературе под названием "багацарской свиты".

Особенностью строения даличайской свиты является широкое участие в ее составе терригенных отложений с отчетливо выраженной грубой слоистостью и общекавказский структурный план развития, с азимутами падения слоев на 220–260°, под углами 35–65°; мощность свиты достигает 600–800 м (туфогенно-терригенная формация).

Детальный разрез, составленный по р. Дали, представлен на фиг. 2. В основании разреза залегает пачка гравелистых песчаников и микроконгломератов, которые переслаиваются с известняками, известковистыми и глинистыми песчаниками, а также туфопесчаниками и алевролитами. Мощности отдельных слоев от нескольких до 10–15 см.

Выше по разрезу возрастает роль вулканического материала, преимущественно в пирокластических фациях – туфы и туфобрекции андезитов и андезито-дацитов, которые переслаиваются с терригенно-осадочными отложениями. Последние почти полностью исчезают в верхах разреза.

Значительное место в разрезе даличайской свиты принадлежит прозывающим вулканическим образованиям – экструзивам, субвулканам, дайкам и прорывающим эксплозивным брекциям среднего состава. Это преимущественно роговообманковые андезиты и дациты и их брекчированные аналоги. Главнейшие разновидности пород указаны в табл. 1.

Эоценовые образования, обнажающиеся в правобережье р. Шишкерт и параллелизуемые нами с даличайской свитой, трангрессивно и с угловым несогласием налегают на отложения мела и девона (Мкртчян, 1958; Белов, 1968, 1969; Барсегян и др., 1972).

Детальные разрезы, отражающие строение толщи по правобережью р. Шишкерт приведены на фиг. 3. В низах палеогеновой толщи здесь обнажается тонкослоистая пачка алевролитов, туфопесчаников и грубозернистых полимиктовых песчаников зеленовато-серого, светло-серого цвета, которая падает на запад, юго-запад 250–270° под углом 35–40° и участками интенсивно рассланцована.

Выше по разрезу залегают туфы андезитового состава и туфопесчаники темно-серого цвета, а в самых верхах, по западному склону

Мегри-Гюнейского хребта, появляются туфы липаритов и дацитов и тонкокислоистые алевролиты. Указанные породы прорваны андезито-базальтами, габбро-порфиритами и дацитами (часто брекчированными), слагающими массивы гор Багацар, Мал-Гядык, Шихлы и др., а также небольшими интрузиями гранодиоритов и западнее — Мегринским плутоном.

б) Вулканические образования, слагающие, как было отмечено выше, сложнофациальный комплекс лав, пирокластов, экструзивных и субвулканических тел, пользуется широким развитием в западной части исследуемой территории, главным образом по Зангезурскому хребту и примыкающим к нему отрогам, несколько условно объединяются нами в капутджухскую "свиту" и относятся, по-видимому, к среднему эоцену.

Сложность и значение данного вопроса для выяснения истории геологического развития региона заставляют нас несколько подробнее остановиться на этом.

Впервые вулканические образования были выделены в самостоятельную капутджухскую свиту И. Н. Ситковским еще в 1940 г. Им же отмечались не совсем ясные взаимоотношения вулканогенных пород с развитыми в районе терригенно-осадочными отложениями среднего эоцена и допускался их верхнеэоценовый возраст.

Позже Ш. А. Азизбековым (1961), главным образом по аналогии с вулканитами, обнажающимися в областях развития фаунистически охарактеризованных осадочных отложений нижнего эоцена Нах. АССР, вулканогенная толща, вмещающая Мегринский pluton, была также отнесена к нижнему эоцену.

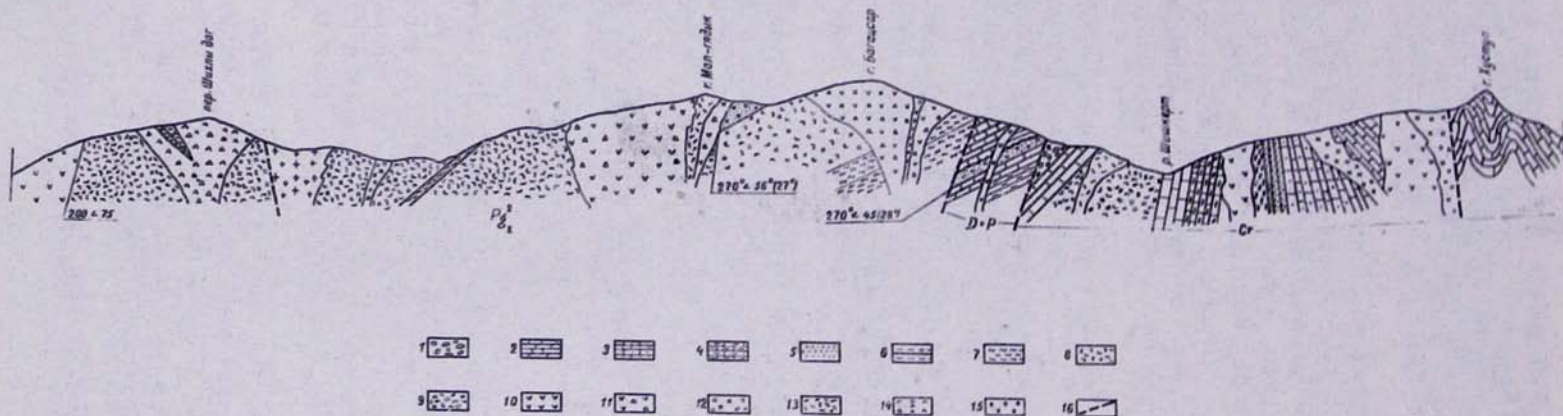
Впоследствии, при определении возраста вулканогенной толщи, развитой по Зангезурскому, Мегри-Гюнейскому, Пирамсарскому и Баргушатскому хребтам, С. С. Мкртчян (1948, 1958), К. А. Карамян (1962) и др., основываясь на данных по Нах. АССР, по аналогии, отнесли ее к нижнему эоцену.

Более поздние работы и ревизия всего имеющегося фактического материала, позволили А. А. Габриеляну и Т. А. Мамедову (1967), по стратиграфическому положению и общим соображениям истории геологического развития, считать наиболее вероятным среднеэоценовый возраст вулканогенной толщи Зангезура.

Наши исследования, подтверждают мнение И. Н. Ситковского, А. А. Габриеляна и Т. А. Мамедова о том, что собственно вулканический комплекс (капутджухская "свита"), не может быть рассмотрен в составе нижнеэоценовой пирамсарской свиты. Формирование этого комплекса пород, вероятнее всего связано с мощной вспышкой вулканизма в среднем эоцене и тяготеет к зоне глубинного разлома, проходящего вдоль Зангезурского хребта.

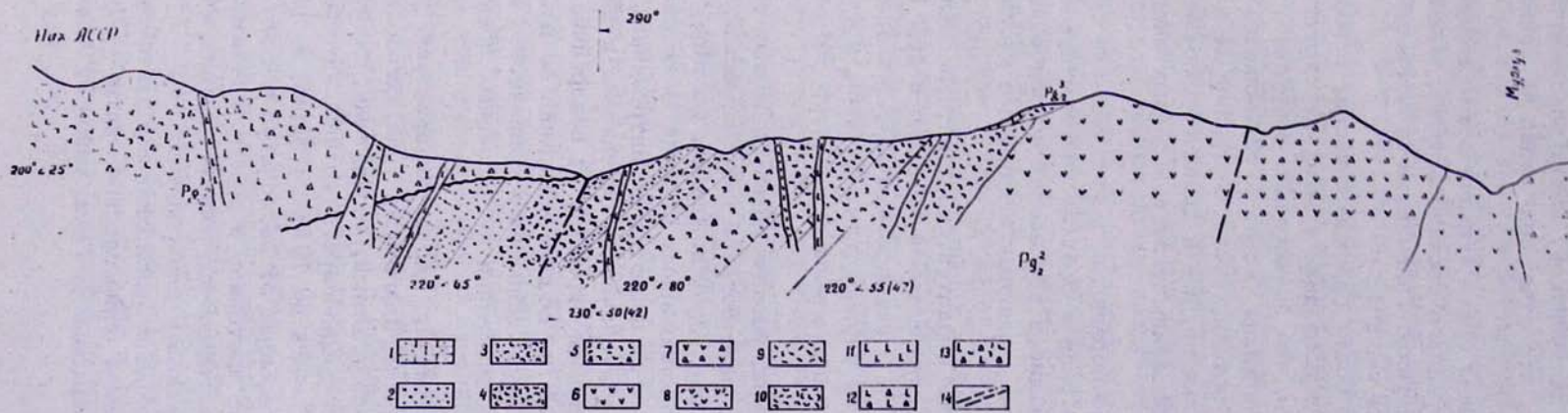
Отличительной особенностью капутджухской "свиты" является ее сложное строение со специфическим вулканизмом, выраженным в широком развитии экструзивных фаций — это крупные и мелкие штоки, дайки, неправильные тела сложной формы, представленные базальтами, андезито-базальтами, андезитами, трахиандезитами, реже дацитами и липаритами.

Описываемый комплекс вулканических образований с нижележащи-



Фиг. 3. Разрез в бассейне р. Шишкець. 1. Конгломераты, 2. известняки, 3. песчанистые известняки, 4. мергели и глинистые известняки, 5. песчаники, 6. глины, 7. алевролиты, 8. туфы андезитов, 9. туфы дацитов и липаритов, 10. андезиты, 11. брекции андезитов, 12. дациты, 13. липариты, 14. габбро-порфиры, 15. гранодиорит-порфиры, 16. разрывные нарушения.

Ниж. ЯССР



Фиг. 4. Разрез по р. Дали-чай (северный склон Баргушатского хребта). 1. Известковистый песчаник, 2. песчаник, 3. туфопесчаник, 4. туфы андезита, 5. туфобрекчики андезита, 6. андезит, 7. брекчики андезита, 8. андезито-дацит, 9. дацит, 10. туфы дацита, 11. базальт, 12. брекчики базальта, 13. туфобрекчики базальта, 14. разрывные нарушения.

ми свитами (пирамсарской и даличайской) почти повсеместно находится в тектонических контактах, что отчетливо видно на приведенных разрезах.

Преимущественным развитием среди вулканических образований пользуются породы основного и среднего составов, принадлежащие известково-шелочной и субшелочной сериям. Главнейшие петрографические разновидности пород приведены в табл. 1.

Собственно лавовые и тем более пирокластические породы пользуются ограниченным развитием, в последних к тому же отсутствует сортировка материала и слоистость, что значительно затрудняет их изучение и выяснение структурного положения. Картина осложняется тем обстоятельством, что как лавовые потоки, так и экструзивные и субвулканические тела, часто имеют облик грубо- и среднеобломочных брекчий, могут быть отнесены к образованиям типа внедренных эксплозивных брекчий.

Эксплозивные брекчи. Своебразными и интересными образованиями, играющими существенную роль в составе капутджухского вулканического комплекса, и пользующиеся в пределах исследованной территории широким распространением, являются внедренные эксплозивные брекчи.

При детальном картировании областей развития палеовулканических образований, целым рядом исследователей (Мерлич и др., 1961; Яковлева, 1963; Борсук и др., 1964; Фаворская, 1969; Милановский, 1961 и др.) обращается внимание на эксплозивные брекчи, формы залегания которых имеют отчетливо прорывающий характер, по отношению к вмещающим породам.

Указанными исследователями, возникновение подобных образований объясняется как результат взрыва богатой газами магмы, на глубинах порядка 0,8–3,5 км. В вопросах происхождения, состава, равно как и в номенклатуре внедренных эксплозивных брекчий имеются разногласия, однако всеми исследователями отмечаются их интрузивные формы проявления, а также спокойная тектоническая обстановка и длительный перерыв вулканизма, предшествующие времени их внедрения.

Не останавливаясь подробно на обзоре взглядов по данному вопросу отметим, что многочисленные наблюдения привели нас к заключению о широком масштабе явлений внедрения эксплозивных брекчий в исследуемом районе.

Форма тел в плане изометрична, часто неправильна, размеры до 1,5–3 км по удлинению. Породы, слагающие тела эксплозивных брекчий, представлены андезито-базальтами, андезитами, дацитами, трахибазальтами, трахиандезитами темно-серого до черного цвета. Количество обломков варьирует от 10–15% до 70–80%, форма их угловатая, неправильная, слабоокруглая; размеры от нескольких мм до 10–20 см. Состав обломков, в основном постоянен и мало отличается от цементирующей массы, но часто встречаются обломки других эфузивов, шлаков, а также обломки песчаников и алевролитов.

Наиболее отчетливо внедренные эксплозивные брекчи картируются в участках развития флишиоидной пирамсарской свиты – (Пирамсарский хр. восточнее г. Улублах, верховья р. Гехи, район с. Аджебадж, юго-

западнее с. Пхрут в районе г. Чолан, западные склоны Зангезурского хребта в пределах Нах. АССР), а также в полосе развития терригенно-деличайской и ее аналога багацсарской свит (басс. рр. Сисиан, Дали, Айри, Шенатах по Баргушатскому хребту, в верховьях р. Шишкерт по Мегри-Гюнейскому хребту, район вершин Багацсар, Мал-Гядык). Однотипные образования отмечаются нами и в полосе развития более древних толщ. В то же время, в полях развития третичных, преимущественно вулканогенных образований (западные участки, примыкающие к Зангезурскому хребту) тела описываемых эксплозивных брекчий, картируются менее отчетливо.

Последнее обстоятельство, по-видимому, связано с брекчевым характером палеогеновых вулканогенных образований различных фаций, как отражение более общей природы магматических расплавов изученного региона, обогащенных газовой составляющей. Подтверждением этому могут служить: 1. значительное присутствие вкрапленников роговой обманки в большинстве разновидностей пород, 2. широкие масштабы автометасоматических процессов и вторичных минеральных новообразований, 3. наличие в составе обломков брекчий пористых разновидностей пород - шлаков, пемз и т. д.

III. Гехакарская (Альмеранская) свита. Наиболее верхнюю часть разреза палеогеновых образований в исследуемой области занимают собственно вулканические и грубообломочные вулканические образования, которые работами предыдущих исследователей (К. Н. Паффенгольц, А. Л.

Додин и др.) выделены в ингрессивную альмерансскую свиту, мощностью до 1 км.

Последняя пользуется в пределах района ограниченным распространением, занимая водораздельные части Зангезурского и Баргушатского (западная часть) хребтов в районе вершин Наапет, Арамлы, Гехакар (Альмеран), Гядык и др., в верховьях рр. Гехи, Сисиан, и уходит на запад в пределы Нах. АССР.

Вопросы возраста гехакарской свиты не получили окончательного решения; фауна в ней отсутствует, а микрофауна плохой сохранности. Стратиграфически она занимает наиболее верхние части разреза палеогеновых вулканогенных образований Зангезура и может быть отнесена к верхам среднего эоценена или к верхнему эоцену-олигоцену (?). Однако особенности вещественного состава и характера проявления вулканизма, а также аналогия с верхнеэоцен-олигоценовыми вулканическими образованиями Севано-Ширакского синклиниория, скорее говорят о верхнеэоцен-олигоценовом возрасте гехакарской свиты.

Последняя трансгрессивно и с угловым несогласием налегает на образования деличайской и капутджухской свит, характеризуется пологими залеганиями слоев 15-20 до 30°, и почти повсеместно выраженным красноцветным перерождением.

В составе гехакарской свиты наибольшим развитием пользуются агломератовые лавы, лавобрекции, а также туфы и туфобрекции основного состава - оливиновые базальты, андезито-базальты и андезиты, которые прорваны многочисленными дайками и экструзивными телами базальтов, андезитов, реже дацитов и липаритов.

Детальные разрезы гехакарской свиты составлены в верховьях рр. Сисиан и Гехи (фиг. 4).

В основании гехакарской свиты почти повсеместно залегают грубо-зернистые песчаники, туфопесчаники и песчанистые известняки лиловато-серого, темно-серого цвета, которые выше сменяются туфами андезито-базальтов, а еще выше агломератовыми лавами и лавобреекциями.

Характеристика главнейших разновидностей пород гехакарской свиты приведена в табл. 1.

В целом для пород характерна неправильная глыбовая отдельность с хаотическим нагромождением вулканического материала, внутри которого отсутствуют следы отсортированности. Кроме того, петрографической особенностью пород гехакарской свиты является наличие, впервые выделенных в изученном районе, оливинсодержащих базальтов и андезито-базальтов, которые отсутствуют среди пород нижележащих толщ.

1У. Толща мио-плиоценовых вулканических образований, объединенная в салвардскую свиту, распространена преимущественно в водораздельных частях Зангезурского хребта в районе вершин гг. Салвард, Джамал, Джомуш, а также в верховьях рек Айри, Сисиан, Шенатах и т.д. Они повсеместно трансгрессивно перекрывают различные горизонты описанных выше свит.

Вулканические образования салвардской свиты представлены контрастными сериями: андезит-дацит-липарит, с одной стороны, и меньше андезит-базальт - с другой, принадлежащими андезит-дацитовой формации.

Они образуют разнообразные по морфологии тела - потоки, экструзивы, вулканические купола, дайки; в меньшей мере сохранились обломочные разности и вулканический пепел.

Породы отличаются свежим, кайнотипным обликом и только в зонах нарушений, переработаны в пропилиты и вторичные кварциты. Структуры пород, как правило, порфировые с вкрапленниками плагиоклаза, моноклинного пироксена, роговой обманки, биотита, кварца.

Возраст салвардской толщи, по имеющимся косвенным геологическим данным, и данным абсолютного возраста (7-9-15 млн. лет)^x, колебляется в интервале от верхнего миоцена до среднего плиоцена.

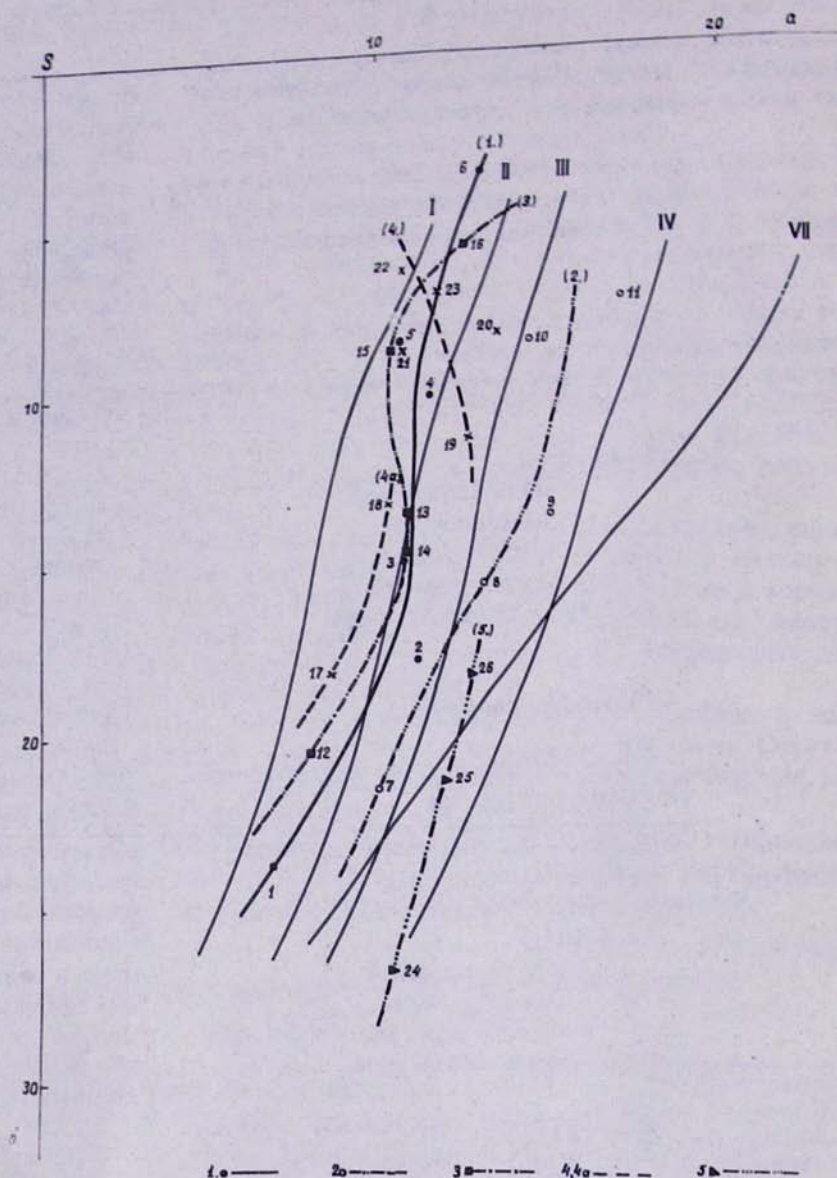
Таблица 1

Главнейшие разновидности пород и их распространение
(по выделенным свитам)

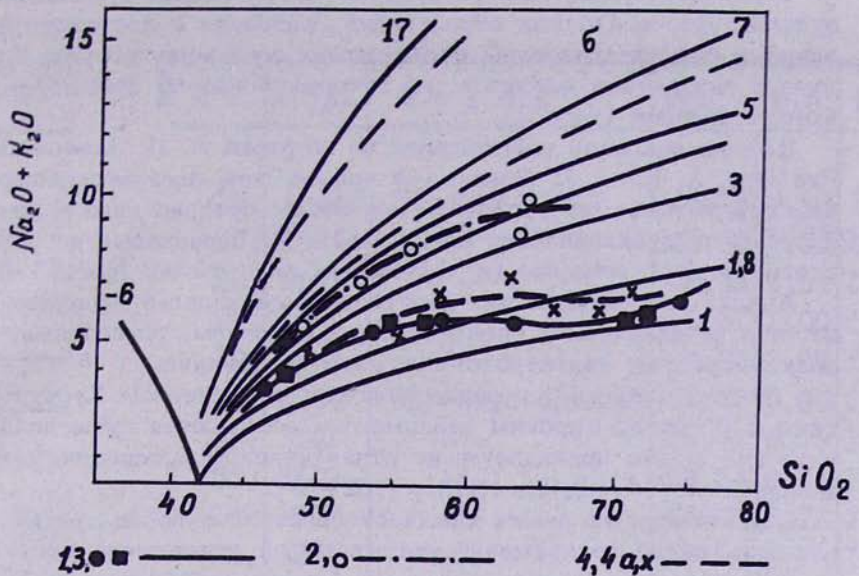
Свита	Главнейшие разновидности пород	Распространение
1	2	3
1. Пирамар-ская (флишидная)	Туфы андезито-базальтов и андезитов кристалло- и лито-кристаллоклассической структуры (часто измененные). Туфы дацитов и липаритов кристалло- и кристалло-литокластической структуры (часто измененные). Алевролиты и песчаники пелитовой, алевритовой структуры (часто измененные). Конгломераты с глинисто-кремнистым цементом.	В различных частях разреза. В низах разреза. Отдельные слои в верхних частях разреза. В низах разреза.

^x) Определения Лаборатории абсолютного возраста ИГН АН Арм. ССР.

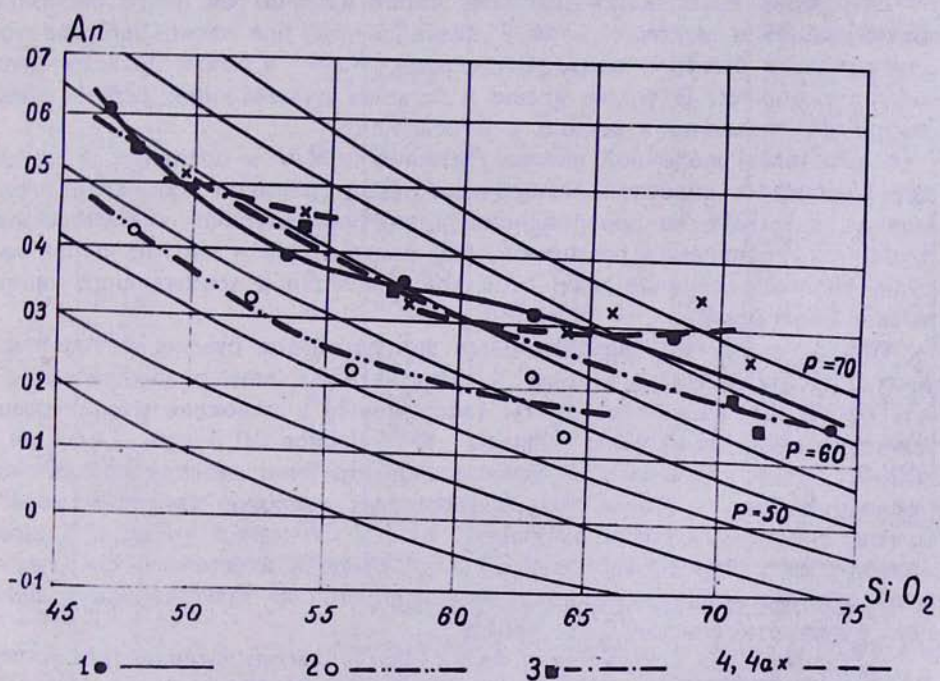
2а. Даличай- ская	Туфы андезитов кристалло-литоклас- тической структуры, псамитовые.	В различных частях разреза.
	Туфы дацитов и липаритов, кристал- ло и кристалло-литокластической струк- туры, алевролитовые, пелитовые.	Маломощные слои в верхах разреза
	Туфопесчаники и алевролиты поли- миктовые	Отдельные слои в верхах разре- за.
	Песчанистые известняки и извест- ковистые песчаники	Пачки в низах разреза.
2б. Капут- джухская	Андеозито-базальты	Отдельные потоки.
	Андеозиты - плагиоклазовые - пироксеновые - двупироксеновые - миндалекаменные	Потоки и эко- трузивы в верхних час- тях разреза
	Дациты, андеозито-дациты	Потоки, дайки в средних час- тях разреза.
	Липарито-дациты	Дайки, экстру- зивы.
	Туфы андезитов лито-кристаллоклас- тической структуры.	Отдельные слои в низах разреза.
Эксплозив- ные брекчии	Диабазы и диабазовые порфиры. Базальты (долериты). Андеозито-базальты. Андеозиты : - плагиоклазовые - пироксеновые - пироксен-роговообманковые - двупироксеновые	Секущие тела сложных форм, в составе своей и нижележащих толщ, в различ- ных частях раз- реза, почти по- всеместно брек- чированные.
3. Гехакар- ская	Дациты, андеозито-дациты, трахиан- деозито-базальты, трахиандезиты, трахидакиты.	
	Оливиновые базальты и андеозито- базальты	Потоки, дайки.
	Андеозито-дациты и дациты (иног- да брекчированные)	Экструзивы, дайки.
	Туфы андеозито-базальтов кристал- ло-литокластической и литокласти- ческой структуры, псамитовые, псе- фитовые.	Низы разреза.
	Туфопесчаники полимиктовые, псамитовые	- " -



Фиг. 5. Вариационная диаграмма средних химических составов третичных вулканических серий Зангезура. 1. Капутджухская свита (известково-щелочная серия). 2. Капутджухская свита (субщелочная серия). 3. Гехакарская свита. 4. Салвардская свита (базальт-андезитовая серия). 4а. Салвардская свита (андезито-дацитовая серия). 5. Пирамтарская свита.



Фиг. 6.



Фиг. 7.

Диаграммы А. Ритмана (1964) для третичных вулканических серий Зангезура. (Условные обозначения см. фиг. 5).

Особенности химического состава палеогеновых вулканических и вулканогенно-осадочных образований Зангезура с достаточной полнотой впервые охарактеризованы в настоящем сообщении по результатам 122 полных силикатных анализов, из которых более 95 приведены по материалам авторов (табл. 2).

Данные анализов пересчитаны по методам А. Н. Заварницкого, А. Ритмана, Х. Куно, Г. Пикока, на основе чего построены петрохимические диаграммы. Для удобства рассчитаны средние химические составы изученных вулканических серий - табл. 3, порядковые номера которой соответствуют номерам (и точкам) на диаграммах (фиг. 5, 6, 7.).

Анализ петрохимических диаграмм и сериальных индексов показывает, что вулканические образования, в основном, принадлежат тикоокеанским средним известково-щелочным ассоциациям ($\delta = 1,87 - 1,93$ и $p = 58 - 68$) (табл. 4), и лишь в блоке, ограниченном Хуступ-Гиратахским и Шишкерт-Кирским разломами, развиваются субщелочные вулканические серии, принадлежащие атлантическим ассоциациям лав слабой щелочности ($\delta = 3,08 - 4,25$; $p = 52 - 58$).

Особенности эволюции химического состава пород третичных вулканических серий во времени, указывают на отчетливую тенденцию к возрастанию известковистости (индекс Пикока от ранних серий к поздним возрастает от 52,9 до 63,8).

В породах известково-щелочных серий отмечается почти постоянное преобладание в щелочах Na_2O над K_2O при этом, наблюдается относительно быстрое возрастание роли K_2O в более поздних вулканических сериях. В то же время в породах субщелочной серии, щелочи находятся примерно в равных соотношениях.

Сериальный щелочный индекс Ритмана (1964) в основных и средних дифференциатах известково-щелочных серий довольно постоянен, что может указывать на преобладание роли гравитационно-кристаллизационной дифференциации расплавов, так называемой - чистой линии без существенного влияния процессов контаминации и ассимиляции сиалического материала.

При рассмотрении вариационных диаграмм для суммы щелочей и извести, построенных по методу Х. Куно (1959), можно заметить, что для пород капутджухской свиты (эффузивные и пирокластические фации) значение известковистого индекса si равное 20,5 при $CaO = Na_2O + K_2O = 5,6$ указывает на принадлежность их к известково-щелочным сериям. В это же время для экструзивных аналогов капутджухской свиты, соответствующие значения si и $CaO = Na_2O + K_2O$ приближают их к переходным сериям и на сводной диаграмме Х. Куно фигуративная точка этих пород располагается на границе полей щелочных и известково-щелочных серий.

Вулканические образования гехакарской свиты, выделяемые в самостоятельный комплекс, характеризуются значениями $si = 13,3$ и $CaO = Na_2O + K_2O = 5,4$, которые указывают на принадлежность их к толеитовым сериям.

Таким образом в эволюции третичного вулканизма, при смене геосинклинального режима развития орогенным, вместе с возрастающей жесткостью блоков и их дальнейшим дроблением возрастает роль раз-

Пирамсарская свита

I.	3087	Туф базальта	49.40	0.96	16.22	5.77	4.75	0.42	10.36	5.81	3.75	1.50	1.77	-	-	100.
2.	3092	-"-	49.32	0.96	18.48	6.48	4.32	0.30	8.19	4.65	4.75	0.65	2.59	-	-	100.
3.	3099	Туф трахиандезито-базальта	53.87	0.66	17.52	5.13	3.16	0.42	8.05	3.41	3.50	3.50	1.22	-	-	100.

Капутджухская свита (Известково-щелочная серия)

4.	3501	Туф базальта	49.99	1.05	18.24	6.15	5.28	0.18	9.40	4.95	3.25	0.62	0.38	-	-	99.
5.	3231	Туф андезито-базальта	52.42	0.12	18.90	4.58	5.60	0.05	8.40	4.07	2.13	0.37	2.68	-	-	99.
6.	3283	-"-	52.77	0.63	15.33	6.02	5.60	0.03	9.10	2.90	3.25	0.50	2.02	1.00	-	99.
7.	3032	Базальт	48.04	0.90	20.72	6.40	5.04	0.16	9.16	4.64	4.13	0.55	0.87	-	-	100.
8.	3077	-"-	46.79	0.90	17.26	5.53	5.61	0.14	12.09	7.28	2.50	0.58	1.85	1.85	-	100.
9.	3107	-"-	45.30	0.96	20.14	5.75	6.71	0.26	10.56	5.89	2.50	0.43	2.12	-	-	100.
10.	3110	-"-	44.02	0.78	22.17	3.60	7.35	0.28	10.99	5.70	2.25	0.43	1.00	2.07	0.11	100.
II.	3111	-"-	44.47	0.84	18.36	4.97	6.76	0.42	9.13	10.50	1.78	0.23	1.21	1.98	0.17	100.
12.	3116	-"-	46.44	0.96	19.08	6.96	4.32	0.40	13.65	4.79	2.00	0.87	1.04	-	-	100.
13.	3320	-"-	48.64	0.90	18.75	4.16	5.76	0.19	7.20	4.91	3.75	1.00	1.35	3.32	0.11	100.
14.	3337	-"-	47.13	0.99	18.16	5.12	5.76	0.35	7.91	4.82	2.87	1.68	1.45	2.93	0.23	99.8
15.	3338	-"-	46.49	0.72	18.15	5.53	4.96	0.41	10.92	4.93	2.50	1.62	0.38	3.14	0.46	100.2
16.	3410	-"-	49.80	0.57	23.20	1.70	6.37	0.30	10.40	4.27	1.75	0.25	1.85	-	0.16	100.6
17.	3412	-"-	49.45	0.57	18.96	4.09	7.14	0.22	9.30	6.00	1.75	0.12	1.90	-	0.16	100.5
18.	3428	-"-	49.38	0.42	19.34	5.85	6.18	0.17	10.40	3.65	3.50	0.12	0.37	-	0.18	99.5
19.	3459	-"-	47.03	1.23	19.88	4.25	8.00	0.15	7.20	5.75	3.50	1.50	1.80	-	-	100.2
20.	3461	-"-	49.40	0.42	20.94	3.50	7.46	0.10	9.75	4.92	1.38	0.12	1.25	-	0.23	99.4
21.	3463	-"-	49.35	0.60	19.09	2.95	7.21	0.15	11.00	2.21	0.90	0.12	1.82	2.90	0.30	99.5
22.	3509	-"-	46.99	1.20	18.43	6.59	5.92	0.16	9.30	6.48	2.00	1.37	0.86	-	-	99.3
23.	3517	-"-	46.94	1.20	18.57	7.60	4.80	0.17	9.61	7.63	2.25	-	0.87	-	-	97.6
24.	3641	-"-	46.46	1.05	18.87	2.89	6.40	-	II.54	5.16	2.50	0.75	1.70	1.80	0.23	100.4
25.	ApII0	-"-	49.18	1.02	23.60	2.98	4.88	0.23	9.13	4.00	3.40	0.80	1.54	-	-	100.7

I,2. Пирамсарский хребет в 3км. к юв от вершины г.Улахпюр. 3.В I,5км. к З от вершины г.Пирамсар

4.Ущелье р.Гехи, в I,5км. к СЗ от с.Аджебадж. 5.Ущелье р.Дали, в Iкм. к Ю от с.Аревис. 6.Ущелье р.Дали в 5,5км. к юв от с.Аревис. 7.В 4км. к ЮЗ от с.Шишкерт, южный склон г.Мушландуз. 8.Правый борт ущелья р.Гюмур, в 3км. к юв от с.Авсарлу. 9,I0.В I-3км. восточнее вершины г.Улахпюр. II.В I,5км. к С от вершины г.Улахпюр. I2.Ущелье р.Шенатах в 2,5км. к Ю от летн. Татна. I3.Баргушатский хребет в 3,5км. к СЗ от вершины г.Гехакар. I4.Левый приток р.Айри, в 3,5км. к ЮЗ от с.Мурхуз. I5.В 4км. к ЮЗ от с.Мурхуз. I6,I7.Южный склон вершины г.Улахпюр. I8.В 2км. к В от г.Улахпюр. I9,20.Ущелье р.Гехи, в 2,5км. к ЮВ от г.Наапет. 2I.В 0,5км. от вершины г.Наапет. 22.Левый борт ущелья р.Гехи, в Iкм. к СЗ от с.Аджебадж. 23.Левый борт

№ п/п	№обр.	П о р о ды	SiO ₂	TiO ₂	Al ₂ O ₃	Fe ₂ O ₃	FeO	MnO	CaO	MgO	Na ₂ O	K ₂ O	H ₂ O ⁺	CO ₂	P ₂ O ₅	Сумма
26.	ApI32	Базальт	45.15	0.98	19.74	2.18	6.17	0.31	12.62	5.54	2.00	I.20	I.31	3.20	-	100.40
27.	Ap245	-"-	43.90	I.08	20.70	4.17	6.46	0.30	8.05	7.63	I.90	0.65	I.95	3.10	-	99.89
28.	Ap378	-"-	46.33	I.04	19.34	7.77	4.16	0.34	II.33	6.37	I.75	0.60	I.49	-	-	100.52
29.	I39I	-"-	45.31	I.00	14.38	6.75	7.54	0.25	10.74	9.39	2.35	0.50	2.20	-	-	100.41
30.	I938	-"-	49.32	I.37	14.51	8.66	6.22	0.34	8.38	4.17	3.00	I.25	2.48	-	-	99.89
31.	3004	Андезито-базальт	54.02	0.90	19.11	2.73	4.60	0.14	8.68	4.09	3.25	I.38	I.67	-	-	100.66
32.	3101	-"-	51.44	0.78	15.81	6.49	4.75	0.35	8.26	5.35	4.75	I.50	I.16	-	-	100.64
33.	3102	-"-	52.24	0.66	18.29	3.77	6.33	0.30	6.86	4.08	6.25	0.88	I.14	-	-	100.72
34.	3207	-"-	54.84	0.II	17.23	5.93	4.82	0.20	9.83	2.63	2.50	0.82	0.52	-	-	99.43
35.	3279	-"-	54.82	0.II	18.29	4.95	2.68	0.21	7.28	2.10	3.00	2.25	I.92	3.00	-	100.67
36.	3380	-"-	52.90	0.94	18.34	3.64	3.62	0.14	5.38	4.66	5.50	I.80	3.02	0.53	0.20	100.67
37.	3402	-"-	54.56	0.94	18.60	4.42	2.70	0.23	9.52	4.02	3.25	0.70	I.40	-	0.22	100.34
38.	3440	-"-	53.25	0.84	18.32	4.33	4.80	0.09	5.58	5.15	5.50	I.08	I.59	-	-	100.52
39.	3444	-"-	51.95	0.87	16.55	5.85	6.50	0.12	5.42	3.31	5.00	2.25	0.93	0.40	0.23	99.38
40.	349I	-"-	51.38	0.90	18.74	5.45	5.28	0.13	7.28	4.98	2.25	2.00	I.82	-	-	100.21
41.	3524	-"-	54.94	I.05	18.99	4.33	6.08	0.II	7.13	2.98	2.25	0.45	I.18	-	-	99.49
42.	3566	-"-	52.17	0.75	19.99	I.02	8.80	0.37	7.27	4.38	3.25	I.25	I.57	-	0.46	100.48
43.	3613	-"-	55.36	0.45	17.02	3.28	4.16	0.09	7.56	6.48	3.00	0.88	2.08	-	0.23	100.59
44.	Ap345	-"-	55.54	I.02	20.57	2.72	4.74	0.31	5.04	3.15	5.00	2.10	0.60	-	-	100.79
45.	3045	Андезит	56.88	0.90	16.64	6.65	4.17	0.16	4.34	3.20	5.00	2.00	I.49	-	-	100.43
46.	3218	-"-	55.54	0.12	18.23	3.67	4.26	0.21	5.38	2.05	4.25	2.00	I.80	I.92	-	99.33
47.	3224	-"-	58.33	0.II	14.98	5.34	4.70	0.20	7.33	2.36	2.50	I.15	2.50	-	-	99.40
48.	3386	-"-	62.98	0.48	16.60	2.65	2.40	0.05	5.77	2.47	2.50	I.37	-	2.33	0.23	99.83
49.	3516	-"-	59.13	0.36	16.67	2.65	3.20	0.03	I.24	7.29	5.75	2.00	I.09	-	0.34	100.61
50.	ApI83	-"-	56.00	0.92	19.61	I.53	3.73	0.18	7.05	2.37	2.80	2.30	I.00	3.08	-	100.45

26. Ущелье р. Сисиан/Тахтакерпи/, в 3км. к Ю от с. Аревис. 27. Ущелье р. Мазмазак, в 4км. к З от с. Аревис
 28. Ущелье р. Салвард, в 3км. к З от с. Аревис. 29. Вершина г. Севжайр. 30. Левый борт ущелья р. Шенатах, в 1км. к С от с. Лернашен. 31. Правый приток р. Шишкерт, в 5км. к СЗ от с. Шишкерт. 32. В 3км. к З от вершины г. Пирамсар. 33. В 5км. к СЗ от вершины г. Пирамсар. 34. Ущелье р. Сисиан, в 0,5км. к ЮЗ от с. Аревис. 35. Ущелье р. Дали, в 5км. к ЮВ от с. Аревис. 36. Правобережье р. Агандзу, в 2,5км. к СВ от вершины г. Таркатар. 37. Восточный склон г. Таркатар. 38, 39. Водораздел Пирамсарского хребта, в 3км. к З от г. Пирамсар. 40. Левый борт ущелья р. Кочадара, в 2,5км. к СЗ от с. Аджебадж. 41. Западная окраина с. Пейган. 42. Левый борт ущелья р. Севакунк в 4,5км. к СВ от с. Багарлу. 43. В 2км. к ЮЗ от г. Хуступ. 44. В 0,7км. к СВ от г. Кошакар. 45. В 3,5км. к ЮВ от г. Чгнавор, правый приток р. Мазра. 46. Ущелье р. Сисиан, в 2км. к ЮЗ от с. Аревис. 47. Ущелье р. Сисиан, в 3км. к ЮЗ от с. Аревис. 48. В 1,5км. к СВ от г. Таркатар. 49. Ущелье р. Гехи у с. Аджебадж. 50. Ущелье р. Мазмазак, в 2км. к СВ от вершины г. Джамал

п/п	№ обр.	П о р о д ы	SiO ₂	TiO ₂	Al ₂ O ₃	Fe ₂ O ₃	FeO	MnO	CaO	MgO	Na ₂ O	K ₂ O	H ₂ O ⁺	CO ₂	P ₂ O ₅	Сумма
51.	3575	Андезито-дацит	64.47	0.60	16.69	2.47	3.36	0.10	4.49	1.81	3.75	1.75	1.06	-	0.23	100.75
52.	3657	"-	62.18	0.60	15.96	3.47	3.36	0.12	4.65	2.98	5.00	0.63	1.08	-	0.11	100.14
53.	3131	Липарито-дацит	70.25	0.45	13.15	2.97	2.30	0.28	3.27	1.78	3.50	1.50	1.12	-	-	100.68
54.	3135	"-	67.06	0.60	14.70	2.49	3.16	0.37	1.78	4.06	4.20	1.30	0.90	-	-	100.62
55.	3227	"-	66.95	0.30	13.27	1.80	3.14	0.08	4.62	1.44	1.63	1.50	2.30	3.06	-	100.09
56.	3637	"-	69.32	0.30	15.39	1.54	2.40	0.16	3.17	1.18	3.75	2.25	0.86	3.06	0.28	100.60
57.	3054	Липарит	74.11	0.33	12.38	1.92	2.16	0.04	1.63	0.44	5.00	1.63	0.58	-	-	100.22
58.	3041	"-	74.78	0.15	14.00	1.13	1.15	0.05	1.64	0.47	5.00	1.78	0.33	-	-	100.42

К а п у т д ж у х с к а я с в и т а (Субщелочная серия)

59.	3019	Трахибазальт	50.03	0.90	18.04	5.13	4.89	0.16	10.69	5.36	2.88	2.25	0.40	-	-	100.73
60.	3096	"-	50.15	0.78	19.07	6.49	3.88	0.91	6.51	4.45	4.00	2.80	1.64	-	-	100.68
61.	3603	"-	48.17	1.20	18.24	3.05	7.56	0.19	9.41	7.56	1.50	2.50	1.02	-	0.23	100.59
62.	I20	"-	46.44	1.28	20.99	8.26	1.64	0.16	8.59	3.19	2.80	2.50	1.45	2.97	-	100.27
63.	37	Трахиандезито-базальт	52.00	1.22	19.92	4.78	4.98	0.14	8.45	2.78	3.00	2.40	0.88	-	-	100.55
64.	48	"-	52.89	0.99	20.76	3.17	4.93	0.17	7.87	1.27	3.20	3.10	1.65	-	-	100.00
65.	I00I	"-	53.48	0.90	16.76	3.77	3.31	0.14	6.03	2.49	3.70	3.00	2.81	3.10	-	99.49
66.	3I	"-	51.93	0.89	18.58	4.53	4.98	0.15	7.35	2.41	3.20	3.00	1.54	1.90	-	100.46
67.	I004	"-	55.64	1.28	17.72	3.61	3.88	0.16	4.51	2.74	4.00	3.75	2.68	-	-	99.97
68.	3016	"-	51.03	0.90	18.14	5.05	5.61	0.15	7.32	4.50	3.38	3.25	1.45	-	-	100.78
69.	3068	"-	51.88	0.90	18.16	5.13	4.46	0.15	6.20	4.32	4.50	3.13	0.76	-	-	100.59
70.	3017	Трахиандезит	55.59	0.90	18.25	3.09	3.88	0.12	5.32	3.40	3.90	4.00	1.86	-	-	100.31
71.	3074	"-	56.25	0.90	18.80	3.69	3.16	0.11	4.15	2.50	4.10	5.20	1.40	-	-	100.21
72.	977	"-	56.34	0.62	15.63	5.42	3.77	0.16	5.44	2.65	3.40	3.30	2.63	-	-	99.36
73.	3II8	Трахиандезито-дацит	63.20	0.30	17.56	2.55	2.03	0.19	3.73	1.74	4.50	4.00	0.68	-	-	100.53
74.	3II9	"-	62.30	0.54	16.82	3.76	2.88	0.16	3.94	1.94	3.70	3.30	1.19	-	-	100.46
75.	3067	Трахидакит	64.03	0.45	17.20	2.01	2.30	0.08	1.93	1.57	5.50	4.13	0.96	-	-	100.16
76.	3I23	"-	64.26	0.45	17.62	1.60	2.88	0.14	2.52	2.51	3.70	5.60	0.50	-	-	100.88

51. Ущелье р.Лусакунк, в 2,5км. к СВ от с.Багарлу. 52. В 1км. к ЮВ от вершины г.Чолан. 53,54. В 4км. к Ю от с.Лернашен. 55. Ущелье р.Сисиан, в 3,5км. к ЮЗ от с.Аревис. 56. В 1,5км. к В от вершины г.Багацсар. 57. В 5,5км. к ЮВ от вершины г.Чгнавор. 58. В 3,5км. к В от вершины г.Чгнавор. 59. Вершина г.Мал-Гядык. 60. Водораздел Пирамсарского хребта, в 5км. к ЮЗ от вершины г.Пирамсар. 61. В 1,5км. к ЮВ от вершины г.Мал-Гядык. 62. В 2,5км. к С от с.Софулу. 63. В 2км. к С от с.Дастакерт. 64. Ущелье р.Айри, в 2км. к С от с.Дастакерт. 68. В 0,8км. к СВ от вершины г.Мал-Гядык. 69.Правый борт ущелья р.Гюмур, в 2км. к ЮВ от с.Авсарлу. 70. В 0,5км. к СВ от вершины г.Мал-Гядык. 71.Правый борт ущелья р.Гюмур, в 2,5км. от с.Авсарлу. 72. В 1,5км. к ЮВ от вершины г.Кяпру. 73,74. Бассейн р.Шенатах, в 3,2км. к Ю от летн.Татна. 75.Правый борт ущелья р.Гюмур,

№ п/п	№ обр	П о р о д ы	SiO_2	TiO_2	Al_2O_3	Fe_2O_3	FeO	MnO	CaO	MgO	Na_2O	K_2O	H_2O^+	CO_2	P_2O_5	Сумма
Гехакарская свита																
77.	3304	Базальт	47.28	0.81	18.56	7.41	4.14	0.12	11.55	3.18	2.32	0.37	1.24	3.02	-	100.0
78.	3305	-"-	50.31	0.24	16.78	5.16	6.16	-	8.26	2.37	1.87	1.15	3.08	4.08	-	99.38
79.	3326	-"-	47.24	0.74	19.31	3.34	6.72	0.25	7.20	5.42	2.75	1.00	2.50	4.00	-	100.47
80.	3334	-"-	50.62	0.78	19.31	4.27	4.80	0.22	10.77	3.13	3.25	0.37	-	2.31	0.23	100.06
81.	3351	-"-	48.10	0.75	18.69	4.94	5.28	0.38	9.30	4.91	3.25	1.25	0.78	2.11	0.46	100.20
82.	3355	-"-	45.34	0.99	18.94	4.81	4.96	0.27	8.99	4.13	3.50	1.05	1.52	5.28	0.17	99.95
83.	3356	-"-	49.32	1.20	17.47	5.12	5.76	0.19	7.79	4.95	3.75	1.00	2.70	-	0.23	98.48
84.	3478	-"-	43.50	0.33	23.79	3.69	7.14	0.08	8.20	4.30	3.00	-	2.44	4.03	0.11	100.38
85.	3481	-"-	46.21	0.51	23.67	2.09	6.40	-	8.91	5.74	2.00	0.17	1.80	2.95	0.05	100.50
86.	3353	-"-	49.13	0.71	17.05	5.42	5.28	0.28	9.37	5.45	2.25	1.25	-	3.61	0.23	100.03
87.	3254	Андезито-базальт	55.63	0.12	18.37	6.30	1.62	0.18	6.24	1.58	3.25	2.75	2.00	2.52	-	100.56
88.	3312	-"-	53.36	0.33	19.81	3.76	5.04	0.12	9.03	2.63	2.75	2.00	1.42	-	-	100.25
89.	3257	Андезит	57.72	0.45	15.86	4.43	3.36	0.09	6.51	2.38	3.37	2.50	1.22	2.00	-	99.89
90.	3343	-"-	57.36	0.81	17.18	6.49	2.88	0.13	7.36	2.28	3.75	1.12	-	2.13	0.23	99.72
91.	3311	Липарито-дацит	70.41	0.48	11.66	3.15	2.35	0.10	3.71	2.97	2.25	2.70	0.82	-	-	100.60
92.	3472	-"-	70.56	0.30	12.73	5.62	1.42	0.14	2.11	0.40	5.00	1.25	0.79	-	0.23	100.55
93.	3328	Липарит	71.72	0.30	13.29	1.77	2.08	0.06	1.73	1.03	5.00	1.25	1.65	-	-	99.88
Салвардская свита																
94.	Ap260	Базальт	49.64	0.84	18.66	5.15	3.02	0.21	10.64	2.64	3.20	0.50	2.50	2.92	0.40	100.32
95.	Ap211	Андезито-базальт	54.43	0.74	19.35	3.88	1.43	0.24	9.04	1.60	3.10	1.90	2.50	2.16	-	100.37
96.	Ap269	-"-	55.27	0.97	19.61	2.72	3.59	0.23	7.22	4.09	3.00	2.15	1.00	-	-	99.85
97.	I829	Андезит	59.77	1.00	17.91	3.76	1.51	0.08	6.08	2.66	3.78	3.14	0.68	-	0.31	99.68
98.	Ap185	-"-	58.11	0.60	17.45	5.49	1.87	0.28	5.46	2.38	3.40	2.55	2.20	-	0.04	99.83

77,78. Верховья р. Сисиан, в 1км. к СВ от вершины г. Гядык. 79. В 0,5км. к СЗ от вершины г. Гехакар. 80. В шина г. Гехакар. 81,82,83. В 2км. к СВ от вершины г. Еркатаасар. 84,85. Водораздел Зангезурского хребта, в 2 км. к С от г. Наапет. 86. В 2км. к СВ от вершины г. Еркатаасар. 87. Ущелье левого притока р. Дали, в 4,5км. к ЮЗ от с. Аревис. 88. Вершина г. Гядык. 89. Ущелье левого притока р. Дали, в 5км. к ЮЗ от с. Аревис. 90. Ущелье левого притока р. Айри, в 2,2км. к СВ от вершины г. Еркатаасар. 91. СВ склон г. Гядык, в 0,4км. от вершины. 92. В 1км. на С от вершины г. Наапет. 93. Ущелье р. Сисиан, в 3,7км. к ЮЗ от с. Аревис. 94. В 2км. к ЮВ от г. мал. 95. В 2,7км. к ЮВ от г. Салвард. 96. В 1,5км. к СВ от г. Джамал. 97. (Каррапетян С., 1972) ЮЗ склон г. Салвард. 98. В 3,5км. к В от г. Джамал. ущелье правого притока р. Салвард

Продолжение таблицы 2

№ п/п	№обр.	П о р о д ы	SiO ₂	TiO ₂	Al ₂ O ₃	Fe ₂ O ₃	FeO	MnO	CaO	MgO	Na ₂ O	K ₂ O	H ₂ O ⁺	CO ₂	P ₂ O ₅	Сумма
99.	T573	Андезито-дацит	64.86	0.44	17.57	0.24	3.78	-	1.92	2.17	4.47	2.04	1.94	-	-	99.43
I00.	T574	"	61.40	-	18.62	3.54	2.18	-	4.32	1.95	1.40	4.29	1.84	-	-	99.54
I01.	T575	"	64.00	0.47	17.74	4.05	1.45	-	2.54	1.46	3.07	4.79	1.20	-	-	100.77
I02.	II53	"	64.72	0.58	17.69	1.99	0.89	0.33	4.29	0.69	4.26	2.74	1.92	-	0.14	100.24
I03.	II54	"	63.72	0.35	19.38	1.19	2.86	0.06	4.68	2.04	2.38	3.64	-	-	0.35	100.65
I04.	II56	"	63.07	0.80	16.47	2.25	1.36	0.14	5.00	1.48	1.25	6.80	1.07	-	-	99.69
I05.	I832	"	62.56	0.44	16.27	4.17	1.44	0.44	4.83	2.30	3.75	3.25	1.01	-	-	100.46
I06.	I828	"	62.83	0.77	16.46	2.31	1.51	0.07	4.06	1.80	3.46	3.80	2.01	-	0.24	99.32
I07.	II4	"	62.30	1.02	16.85	3.54	1.79	0.17	2.55	1.08	4.70	5.00	0.95	-	-	99.95
I08.	K687	Дацит	67.16	0.22	17.19	0.81	0.87	0.04	3.69	0.91	4.14	1.37	2.04	-	-	98.44
I09.	K688	"	65.74	0.36	17.18	2.47	1.16	0.08	4.34	1.68	4.22	2.02	0.32	-	-	99.57
II0.	II00I	"	66.96	0.56	13.27	4.00	1.68	-	2.93	1.47	3.07	3.90	2.45	-	-	100.29
III.	T99I	"	65.00	0.14	19.14	2.32	1.02	0.04	4.55	1.25	4.32	1.78	1.00	-	-	100.56
II2.	T992	"	65.24	0.25	18.83	1.39	1.16	0.05	4.50	1.53	4.26	1.62	1.90	-	-	100.83
II3.	T576	"	65.10	0.11	16.08	2.20	1.22	-	3.68	0.90	3.33	3.65	2.80	-	-	99.07
II4.	II59	"	67.12	1.16	18.04	1.59	0.80	-	1.23	0.62	4.30	3.56	1.80	-	0.04	100.35
II5.	II60	"	65.25	0.20	19.71	3.00	0.53	-	3.63	0.63	3.76	1.33	1.00	-	-	99.04
II6.	582	Липарито-дацит	67.73	0.49	17.23	1.08	1.19	0.03	4.22	0.81	3.62	1.62	2.20	-	-	100.22
II7.	M686	"	70.40	0.50	14.74	2.08	1.16	0.09	2.91	1.17	3.42	2.24	2.20	-	-	100.91
II8.	K690	"	71.38	0.16	16.02	1.02	0.72	0.02	2.56	0.92	2.94	2.64	0.64	-	-	99.02
II9.	I837	"	69.37	0.27	16.70	2.09	0.28	0.01	3.22	0.55	4.25	1.88	1.90	-	-	100.42
I20.	K6II	Липарит-	75.10	0.08	13.93	1.74	-	0.09	0.41	0.27	3.31	4.14	0.20	-	-	99.27
I21.	II55	"	73.04	0.20	14.93	1.58	0.53	0.20	0.71	1.04	0.97	5.52	1.22	-	0.26	100.80
I22.	KI30I	"	76.20	0.26	13.32	0.79	0.59	сл.	0.72	0.31	1.50	5.30	0.89	-	-	99.88

99, I00. (Татевосян, 1955) с. Салкар. I01. (Татевосян, 1955) с. Лернашен. I02, I03, I04. (Гульян, 1966) район с. Мурхуз. I05, I06. (Карапетян С., 1972) вершина г. Салвард. I07. В 1,5 км. к З от вершины г. Бердакар. I08. (Карамян, 1954) северный склон Баргушатского хребта, с. Мурхуз. I09. (Карамян, 1954) северный склон Баргушатского хребта, г. Дали-Кахс. I10. (Исаенко, 1951) с. Дастанкерт. III, II2. (Татевосян, 1955) вершина г. Бердакар. II3. (Татевосян, 1955) у родника на дороге в с. Пюсек. II4, II5. (Гульян, 1966) район с. Дастанкерт. II6. у с. Лернашен. II7. (Мкртчян, 1958) с. Софулу. II8. (Карамян, 1954) с. Софулу. II9. (Карапетян С., 1972) у с. Софулу. I20. (Карамян, 1954) с. Дастанкерт. I21. (Гульян, 1966) Баргушатский хребет, ущелье р. Сари-дара. I22. Ущелье р. Дастанкерт.

Петрохимические параметры третичных вулканических
пород Зангезура

Таблица 4

	Главные типы пород	Серии	Серийные индексы и серии по А. Ритману					Индекс затвердевания и щелочного известковый индекс по Х. Куну			Индекс Пикока	Серии пород по Пикоку
			σ	$\tilde{\sigma}$	A_n	P	тип ассоциации	S_i	$\frac{CaO}{MgO} = \frac{S_{10}}{S_{100}}$	Серии		
Первый комплекс	Известково-щелочная серия	Базальт	2.35	0.60	61.28			28.4				56.9
		Андезито-базальт	2.66	0.39	58.34			22.0				
		Андезит	2.07	0.35	61.05			20.1				
		Андезито-дацит	1.54	1.87	0.31	63.95	Тихоокеанский средний известково-щелочной	16.7	5.6	20.5	Известково-щелочная	
		Лишарито-дацит	1.15	0.29	67.78			14.9				
		Лишарит	1.43	0.13	61.78			4.5				
	Субщелочная серия	Трахибазальт	4.54	0.44	55.51			25.0				52.9
		Трахиандезито-базальт	4.56	0.33	54.27			15.9				
		Трахиандезит	4.85	4.25	0.23	52.14	Атлантический переходный к тихоокеанскому.	15.4	6.2	13.6	Субщелочная	
		Трахиандезито-дацит	3.08	0.22	57.83			12.1				
		Трахидалит	4.24	0.14	53.88			9.4				
Второй комплекс	Известково-щелочная серия	Базальт	2.66	0.56	60.01			24.0				63.8
		Андезито-базальт	2.51	0.43	61.57			13.3	5.4	13.3		
		Андезит	1.98	1.93	0.35	60.47	Тихоокеанский средний известково-щелочной	14.3				
		Лишарито-дацит	1.14	0.19	62.72			12.4				
		Лишарит	1.36	0.16	61.68			9.3				
		Толентовая										
Третий комплекс	Известково-щелочная серия	Базальт	2.06	0.52	60.56			16.0				57.7
		Андезито-базальт	2.17	0.46	63.63			20.7				
		Андезит	2.67	0.32	59.61			16.5				
		Андезито-дацит	2.58	2.02	0.28	62.20	Тихоокеанский средний известково-щелочной	12.4	6.3	17.0	Известково-щелочная	
		Дацит	1.74	0.31	66.61			10.5				
		Лишарито-дацит	1.20	0.32	71.12			9.6				
		Лишарит	1.73	0.23	66.32			8.9				

рывной тектоники отражающейся, как в характере проявления вулканизма, так и в уровне генерации магм. Этим, по-видимому, можно объяснить смену раннепалеогеновых известково-щелочных ассоциаций, поздне-палеогеновыми — толеитовыми, оливин-базальтовыми.

И уже в заключительной стадии, в мио-плиоцене, по различным системам нарушений одновременно поступают на поверхность контрастные серии лав.

З а к л ю ч е н и е

Анализ большого фактического материала позволяет авторам несколько по иному трактовать историю развития вулканизма и формирования вулканогенно-осадочных толщ Зангезурского сегмента Памбак-Зангезурской структурно-формационной зоны в позднегеосинклинальный и раннегороденный этапы геотектонического развития.

1. Начиная с низов эоценена (возможно палеоцена) идет накопление мощной терригенно-флишидной толщи (пирамарская свита) с характерным северо-восточным структурным планом развития, унаследованым, вероятно, от региональных верхнемеловых поперечных прогибов, картируемых на отдельных участках соседнего Кафанско-Карабахского блока.

2. В среднем эоцене, с некоторой консолидацией территории в условиях морского режима, формируется преимущественно терригенная толща (деличайская и багасарская свиты), имеющая общекавказский план развития. В составе ее, наряду с терригенно-осадочным материалом значительное место занимает вулканогенный материал, преимущественно в пирокластических фациях.

3. В конце среднего эоценена в связи с активизацией региональных глубинных разрывных нарушений происходит крупная вспышка вулканизма, в результате которого формируется мощный, сложнофацальный вулканический комплекс, условно объединяемый нами в капутджухскую свиту. Преимущественным развитием здесь пользуются вулканические образования основного и среднего состава, принадлежащие к известково-щелочной и субщелочной сериям и относящиеся к базальт-андезито-базальтовой формации. Отличительной особенностью вулканизма этого периода является широкое развитие экструзивных фаций — крупные и мелкие штоки, дайки, неправильные тела сложной формы, прорывающие почти повсеместно вышеуказанные толщи.

Характерной, специфической особенностью изученного вулканизма данной области является также широкое развитие процессов автометасоматоза и формирование брекчированных разностей пород, как в собственно эфузивной, так и в экструзивной фациях. Последнее, по-видимому, связано с природой магматических расплавов, значительно обогащенных газовой составляющей. По нашему мнению именно этим можно объяснить широкое проявление экструзивного вулканизма в виде рвущих "эксплозивных брекчий". В дальнейшем, при постановке специальных палеовулканологических и микроструктурных исследований, по-видимому, будет возможным выделить особый тип вулканизма, про-

являющийся на определенных этапах тектонического развития территории

4. С продолжающейся тенденцией воздымания области и переходом ее к орогенному этапу развития, в относительно спокойных прибрежно-континентальных условиях формируется преимущественно вулканогенная толща (гехарская свита), представленная оливиновыми сериями пород основного состава с характерным красноцветным перерождением.

5. Особенности вещественного состава и химизма изученных вулканических серий позволяет отнести их к известково-щелочным, субщелочным и толеитовым ассоциациям вулканогенных пород и объединить их в три относительно самостоятельных вулканических комплекса: I комплекс (нижний-средний эоцен) - даличайская и капутджухская свиты; II комплекс - (верхний эоцен-олигоцен (?)) - гехарская свита и III комплекс (мио-плиоцен) - салвардская свита. Формирование этих комплексов связано с наиболее значительными по масштабам вспышками вулканизма области в течение палеогена и неогена.

ЛИТЕРАТУРА

- Азизбеков Ш. А. Геология Нахичеванской АССР. Госгеолтехиздат, М., 1961.
- Барсегян В. Б., Габриелян А. А., Саркисян О. А., Симонян Г. П., Торосян Р. А. Новые данные по геологии Южного Зангезура. Известия АН Арм. ССР, Науки о Земле, № 4, 1972.
- Белов А. А. К истории тектонического развития северной окраины Иранской элибайкальской субплатформы на Малом Кавказе. Известия АН СССР, сер. геол., № 10, 1968.
- Белов А. А. Стратиграфия и структура метаморфизованных вулканогенных и осадочных комплексов зоны Анкавано-Зангезурского разлома в юго-западной Армении. Бюлл. МОИП, отд. геол., № 1, 1969.
- Борсук А. М., Масуренков Ю. П. О жерловых формах интрузивного процесса. Известия АН СССР, сер. геол., № 4, 1964.
- Габриелян А. А. Новейшая тектоника и сейсмичность Армянской ССР и смежных частей Антикавказа. Известия АН Арм. ССР, геол. и геогр. науки, т. ХУ1, № 4-5, 1963.
- Габриелян А. А., Мамедов Т. А. Новые данные о возрасте вулканогенной свиты палеогена Нах. АССР и Южного Сюника (Арм. ССР). ДАН Арм. ССР, № 4, 1967.
- Габриелян А. А., Багдасарян Г. П., Джрабашян Р. Т., Карапетян К. И., Меликsetян Б. М., Мелконян Р. Л., Мнацаканян А. Х. Основные этапы геотектонического развития и магматической деятельности на территории Арм. ССР. Известия АН Арм. ССР. Науки о Земле, № 1-2, 1968.
- Гюмджян О. П. Об обнаружении пермских отложений в Зангезуре (Армянская ССР). ДАН Арм. ССР, т. XXXУП, № 5, 1963.
- Гюмджян О. П. О соотношении вулканогенных и осадочных образований в "псевдо-вулканогенно-осадочных" формациях Баргушатского хребта (Армянская ССР). Известия АН Арм. ССР, Науки о Земле, т. XXI, № 5, 1968.

- Карамян К. А. Структура и условия образования Дастанкерского
медио-молибденового месторождения. Изд. АН Арм. ССР, 1962.
- Мерлич Б. В., Зайцева В. Н., Спитковская С. М., Сасин Г. Г.,
Неогеновые вулканические жерловины Закарпатья. Геол. сборник
Львовского об-ва, № 7-8, 1961.
- Милановский Е. Е., Короновский Н. В. "Туфоловы" и родствен-
ные им образования Центрального Кавказа. Тр. лабор. вулканоло-
гии, вып. 20, 1961.
- Мкртчян С. С. Новые данные о геологическом строении южной час-
ти Армянской ССР. Изд. АН Арм. ССР, 1948.
- Мкртчян С. С. Зангезурская рудоносная область Армянской ССР.
Изд. АН Арм. ССР, 1958.
- Ритман А. Вулканы и их деятельность. Изд. "Мир", М., 1964.
- Фаворская М. А. и др. Связь магматизма и эндогенной минераге-
ни с блоковой тектоникой. Изд. "Недра", 1969.
- Яковлева Е. Б. Автомагматические брекчии Казахстана. Советская
геология, № 8, 1963.
- Кипо Н. Origin of cenozoic petrographic provinces of Japan
and surrounding areas. Bull. volcan. ser. II, v. XX,
1959.